

УДК 541.136

ТРАНСФОРМАЦИЯ ТОПЛИВА ПРИ РАЗРЯДЕ БОРОГИДРИДНОГО ТОПЛИВНОГО ЭЛЕМЕНТА

А. В. Чуриков, А. В. Иванищев, В. О. Сычева, М. А. Чуриков

Саратовский государственный университет им. Н. Г. Чернышевского, Россия

E-mail: churikovav@inbox.ru

Поступила в редакцию 11.04.11 г.

В настоящей работе представлена модель, связывающая объёмно-массовые и химические изменения гетерогенного борогидридного топлива, происходящие при разряде борогидридного топливного элемента. Показано хорошее соответствие экспериментальных данных, полученных при разряде топливной композиции на основе водно-щелочного раствора борогидрида калия KBH_4 при температуре 25°C, рассчитанным теоретически в предположении полного восьмивалентного окисления борогидрида-иона.

Ключевые слова: борогидрид, борат, материальный баланс, водородная энергетика, топливный элемент.

A model connecting the weight, volume, and chemical changes of heterogeneous borohydride fuel occurring at discharge of the direct borohydride fuel cell is presented. The experimental data measured with a fuel on the basis of water-alkaline solution of potassium borohydride KBH_4 at temperature 25°C are compared with theoretically calculated curves. Good conformity is acknowledgement of the 8-electron mechanism of borohydride ion oxidation.

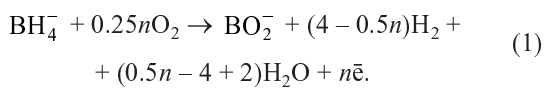
Key words: borohydride, borate, material balance, hydrogen energetic, fuel cell.

ВВЕДЕНИЕ

Одним из перспективных направлений водородной энергетики является разработка низкотемпературных топливных элементов (ТЭ), использующих прямое электрохимическое окисление борогидридных соединений, так называемых прямых борогидридных ТЭ (DBFC). В таких устройствах борогидриды находятся в форме концентрированных водных растворов или суспензий, дополнительно содержащих растворённые гидроксиды. Последние стабилизируют раствор, предотвращая гидролиз борогидрида-иона BH_4^- , определяя и регулируя его химическую и электрохимическую активность. В процессе функционирования ТЭ борогидриды постепенно окисляются, отдавая содержащийся водород и переходя в растворимые соли борной кислоты, т.е. метабораты.

Теоретический коэффициент эффективности преобразования энергии для таких систем составляет 0.9 [1]. Необратимость процессов в DBFC связана с энергетическими, омическими и концентрационными потерями, кроссовером топлива, токами утечки и т.д.

Согласно [2], процесс окисления борогидрида может протекать с разной степенью завершённости, что зависит от природы применяемого катализатора. Всего возможны 14 различных вариантов окисления борогидрида, сопровождающихся переносом от 1 до 8 электронов [2–5], записываются общим уравнением:



При этом конечными продуктами окисления являются вода и гидратированный ион BO_2^- (который записывают также $\text{BO}_2^- \cdot 2\text{H}_2\text{O}$ или $\text{B}(\text{OH})_4^-$). Варианты разряда различаются не только энергией. Поскольку при этом образуется или расходуется вода (при $n < 4$), фазовое состояние топлива, концентрации компонентов и физико-химические свойства топлива также оказываются различными.

Согласно нашим исследованиям [6–9], DBFC с борогидридом натрия NaBH_4 труднореализуемы из-за низкой растворимости продуктов окисления в щелочной среде. Напротив, продукты окисления борогидрида калия имеют высокую растворимость в щелочной среде, поэтому DBFC с KBH_4 не должны иметь проблем с осаждением труднорастворимых продуктов разряда в пористой структуре электродов.

Удельные характеристики DBFC напрямую зависят от соотношения компонентов $\text{BH}_4^-/\text{OH}^-/\text{H}_2\text{O}$, потому установление оптимального состава топлива является важной задачей. Отправной точкой такого исследования может служить проведение теоретического расчёта изменения химического состава при разряде DBFC, использующего в качестве топлив раствор $\text{KBH}_4 + \text{KOH} + \text{H}_2\text{O}$, а также сравнение теоретических расчетов с экспериментальными данными, полученными при температуре 25°C.

ЭКСПЕРИМЕНТАЛЬНАЯ ЧАСТЬ

В качестве исходных реагентов для изготовления топливных смесей использовались: KBH_4 квалификации «ч» (ОАО «Авиабор», Россия),

КОН квалификации «хч» (ЗАО «НПО ЭКРОС», Россия); дистиллированная вода, не содержащая растворённого углекислого газа. Приготовление сухих смесей исходных реагентов проводилось в мельнице-активаторе АГО-2 и ультразвуковом измельчителе CTBRAND. Измельчение и смешивание реагентов проводилось в боксе с осушённой атмосферой. Взвешивание проводилось на лабораторных электронных цифровых весах AND GF-600 (точность взвешивания ± 1 мг). Все последующие измерения проводились при фиксированной температуре в программируемом термостате PolySciens «AlexRedCTD» (точность поддержания температуры $\pm 0.01^\circ\text{C}$).

Состав растворов и твёрдых осадков количественно определялся методами кислотно-основного и йодометрического титрования, методики которых подробно описаны в [6, 7]. Содержание гидроксид-иона определялось методом кислотно-основного титрования путём отбора точной массы пробы жидкого раствора 0.2–0.5 г в мерзурку для титрования с последующим разбавлением дистиллированной водой до 250 см³. Титрование проводилось 1 М раствором HCl. Кривые титрования обрабатывались путём моделирования экспериментальных и теоретически рассчитанных кривых титрования.

Для определения борогидрид-иона в исследуемой смеси использовался метод иодометрического окислительно-восстановительного титрования. Массу пробы (0.2÷0.5 г) переносили в мерную колбу ёмкостью 100 мл, разбавляли до метки 1 М раствором NaOH и тщательно перемешивали. Затем из мерной колбы отбирали аликвоту объёмом 5 см³ и переносили в мерзурку для титрования, разбавляли 1 М раствором NaOH до 50 см³ и титровали стандартным 0.1 М раствором иода.

Для титрования использовался автоматический титратор АТП-02 («НПКФ Аквилон», Россия). Скорость непрерывной и дискретной подачи титранта автоматически менялась от 36 до 0.1 мл/мин по мере приближения к точке эквивалентности. Для кислотно-основного титрования использовался индикаторный стеклянный электрод и хлоридсеребряный электрод сравнения. Для иодометрического титрования применялся индикаторный платиновый электрод и стеклянный электрод сравнения.

ОБСУЖДЕНИЕ РЕЗУЛЬТАТОВ

Расчет химического баланса топлива

В случае n -электронной токообразующей реакции (1) масса топлива изменяется за счёт связы-

вания 0.25 n моль кислорода и удаления (4 – 0.5 n) моль водорода на каждый 1 моль прореагировавшего борогидрида, что соответствует уравнению (2) и (3):

$$\frac{\Delta m(x)}{m_{\text{BH}_4}^0} = x \frac{0.25n \cdot M_{\text{O}_2} - (4 - 0.5n) \cdot M_{\text{H}_2}}{100 \cdot M_{\text{BH}_4}} = \\ = x(0.0060687n - 0.0054326), \quad (2)$$

$$m(x) = (0.000060687n - 0.000054326)g^0xm^0 + m^0, \quad (3)$$

где x – степень разряда, т.е. массовая доля использованного (прореагировавшего) борогидрида; $\Delta m(x)$ – изменение массы топлива в процессе разряда; m^0 – исходная масса топлива до начала разряда; M – молярные массы; $m(x)$ – текущая масса топлива; $g^0 = 100 \frac{m_{\text{BH}_4}^0}{m^0}$ – исходная концентрация BH_4^- -иона в топливной смеси, мас.% .

Согласно [9], концентрированные растворы $\text{KBH}_4 + \text{KOH} + \text{H}_2\text{O}$ содержат в качестве твердой донной фазы только безводный KBH_4 , что позволяет определить соотношения между массой и объёмом жидкой фазы топлива ($m_l = \rho_l V_l$) и массой и объёмом твёрдой фазы топлива ($m_s = \rho_s V_s$) по изменению концентрации BH_4^- иона в растворе в соответствии с уравнениями:

$$m_s = m(g-h) \frac{M_{\text{KBH}_4}}{100 \cdot M_{\text{BH}_4}} = 0.0363417m(g-h), \quad (4)$$

$$m_l = m - m_s = m[1 - 0.0363417(g-h)], \quad (5)$$

где $g(x)$ – общая (тотальная) концентрация BH_4^- иона в топливной смеси в произвольной точке x , мас.%; $h(x)$ – концентрация растворённого BH_4^- иона при той же степени разряда x , мас.%; $(g-h)$ – убыль концентрации иона BH_4^- в топливном растворе, связанная с процессом выделения в отдельную фазу твёрдого осадка KBH_4 ; ρ – плотность; V – объем.

Комбинируя вышеприведенные уравнения, получаем формулы изменения объёмно-весовых соотношений топлива при разряде DBFC:

$$m_s = 0.0363417(g-h)[(0.000060687n - 0.000054326)g^0xm^0 + m^0], \quad (6)$$

$$m_s^0 = 0.0363417m^0(g^0 - h^0), \quad (6a)$$

$$m_l = [1 - 0.0363417(g-h)][(0.000060687n - 0.000054326)g^0xm^0 + m^0], \quad (7)$$

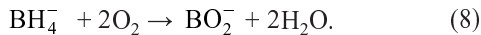
$$m_l^0 = m^0 \left[1 - 0.0363417 (g^0 - h^0) \right], \quad (7a)$$

где верхний индекс «0» указывает на начальное значение параметра при $x = 0$.

Сравнение расчета и эксперимента

В качестве x -координаты на всех графиках используется степень разряда, представляющая собой долю прореагированного борогидрида. Степень разряда меняется от 0 в исходном топливе до 1 в полностью отработанном топливе, не содержащем ионов BH_4^- . При переходе к электрическим единицам степень разряда можно отождествить со снятой электрической ёмкостью волях от теоретически возможной ёмкости по реакции (3) при условии 100%-ного выхода по току.

Наиболее важна 8-электронная ($8\bar{e}$) схема окисления, соответствующая полному использованию гидрида и максимальной генерации энергии:



Представляет значительный теоретический и практический интерес проверка соответствия реального изменения химического содержимого DBFC теоретическому расчету, основанному на вышеприведенных уравнениях при заданном исходном состоянии топливной смеси и предполагаемой величине n .

Мы использовали в качестве исходного топлива смесь, содержащую 14.37 мас. % KBH_4+ + 14.92 мас. % $\text{KOH} + 70.71$ мас. % H_2O ; такой состав был выбран нами на основе предварительного изучения диаграммы растворимости системы $\text{KBH}_4 + \text{KOH} + \text{H}_2\text{O}$ [9]. Смесь характеризуется параметрами $g^0 = 3.95$ мас. % и $h^0 = 1.58$ мас. % при 25°C и теоретической электрической ёмкостью $C^0 = 571 \text{ mA}\cdot\text{ч}/\text{г}$, если $n = 8$.

Эксперимент проводился в малогабаритном топливном элементе «Power Pack» (производитель Medis Corp., США) путем его разряда на постоянную нагрузку. Степень разряда x вычисляли из разрядной ёмкости C как долю от C^0 , используя разбивку траектории разряда на 10 точек через равные интервалы. Если $8\bar{e}$ -схема окисления реализуется в DBFC, следует ожидать не только качественного, но и количественного совпадения расчётного и экспериментального изменения химического состава топливной смеси.

На рис. 1 представлены результаты расчёта массы и объёма твёрдой и жидкой составляющих

топливной смеси при $8\bar{e}$ разряде, выполненные в соответствие с уравнениями (6)–(7a). Согласно рис. 1, твёрдая фракция топлива составляет относительно небольшую долю, поэтому определяющую роль играет жидкую фракцию. Масса и объём твердой составляющей топлива закономерно уменьшаются при разряде, а масса и объём жидкой составляющей топлива закономерно возрастают. Согласно расчёту по уравнению (3), полное окисление борогидрида в используемой смеси должно сопровождаться увеличением её массы на 17%.

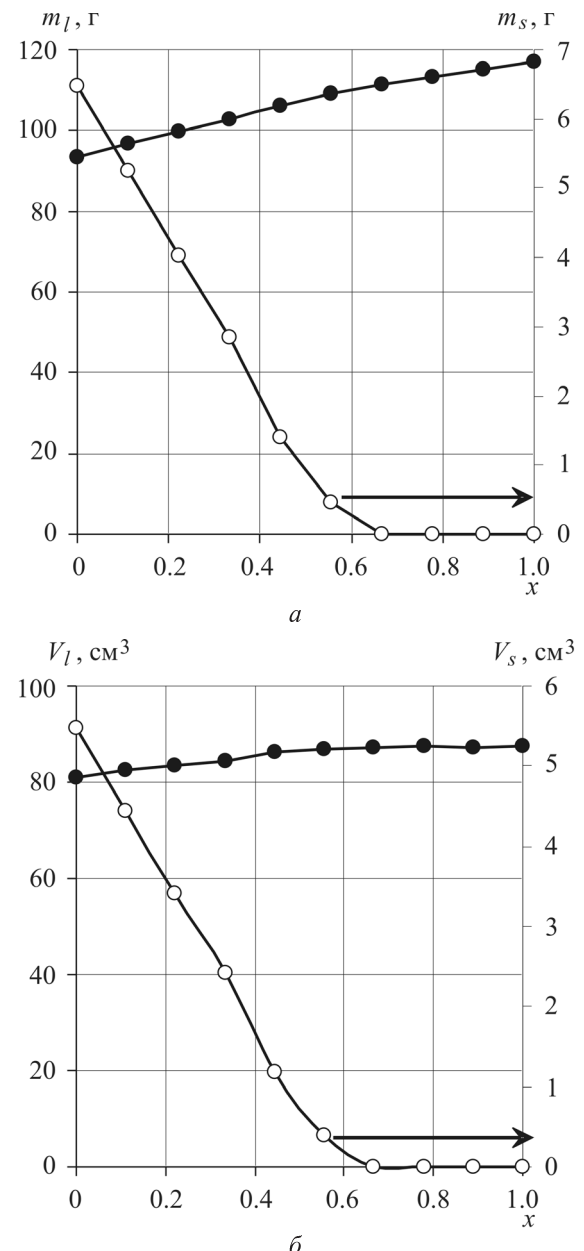


Рис.1. Изменение массы (а) и объёма (б) твёрдой и жидкой составляющих топлива при $8\bar{e}$ разряде при 25°C (начальная масса топлива m^0 равна 100 г)

На рис. 2 сопоставляются расчётные кривые и результаты химического анализа топливного раствора в процессе разряда. Как сказано выше, рассчитывается общее (тотальное) содержание каждого компонента в топливной смеси, а аналитически определяются концентрации растворенных компонентов. При температуре 25°C исходное топливо представляет собой гетерогенную смесь «твёрдый KBH_4 + жидкий раствор», поэтому растворенные концентрации в большей или меньшей степени отличаются от суммарных концентраций. Содержание BH_4^- иона в смеси $g(x)$ закономерно уменьшается по мере разряда как результат расхода по реакции (8); аналогичный параметр метаборат-иона BO_2^- при этом закономерно возрастает. Массовые

доли ионов K^+ и OH^- , не участвующих в токообразующей реакции (8), тоже уменьшаются из-за образования относительно тяжёлых метаборатов. По этой же причине уменьшается массовая доля воды в топливе, даже несмотря на ее непрерывное генерирование по реакции (8).

При разряде, по мере протекания процесса, доля твердого KBH_4 постепенно уменьшается, в определенный момент разряда DBFC твёрдая фаза исчезает полностью, при этом топливо становится гомогенным раствором. Аналитическая концентрация KBO_2 (рис. 2, δ), который на всех степенях разряда находится в растворенном состоянии, близка к расчётной концентрации, обычно несколько превышая последнюю. Аналитическая концентрация

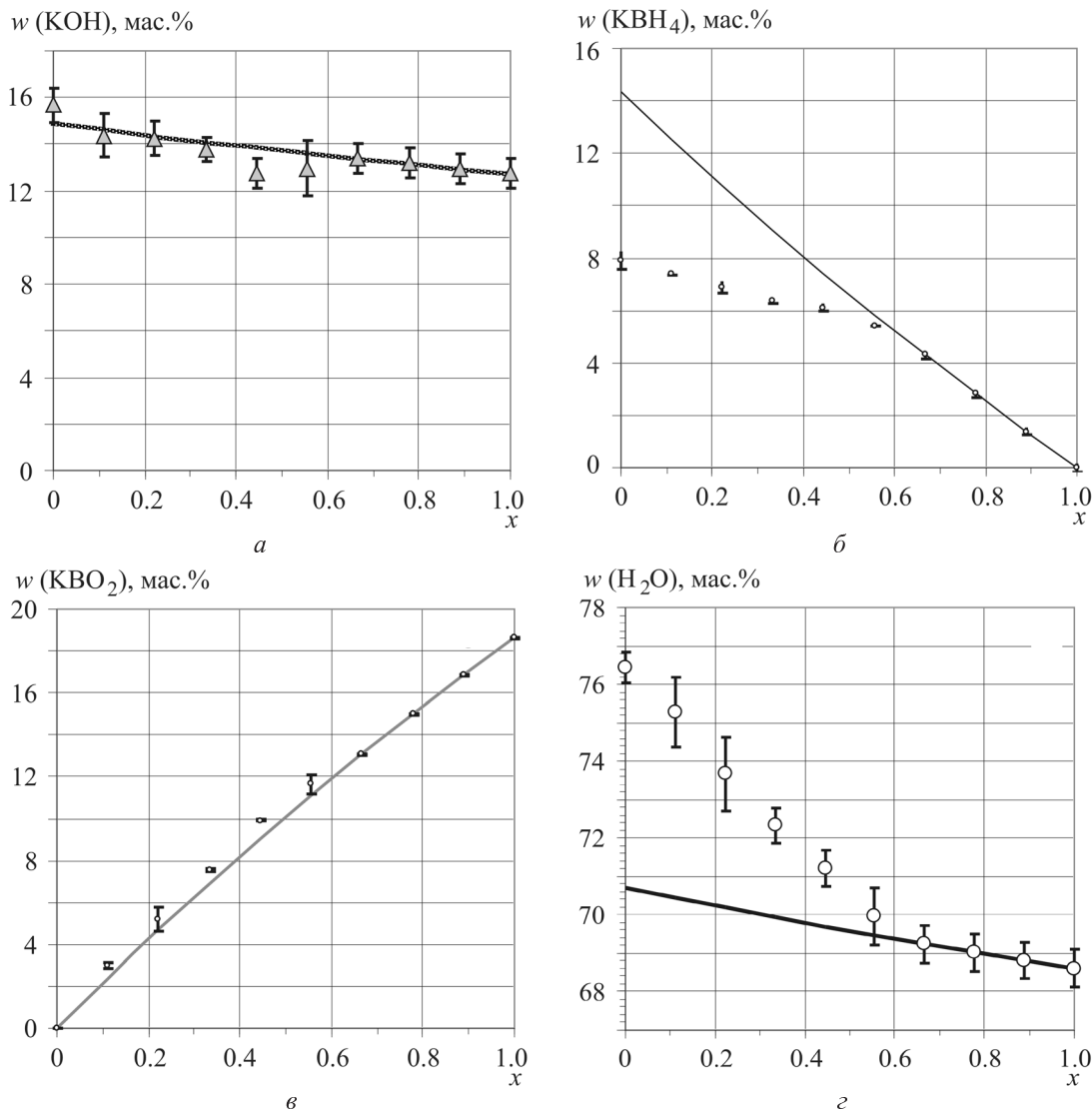
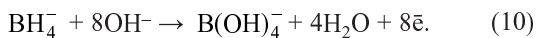
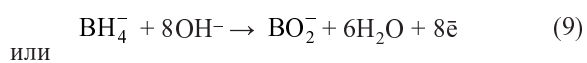


Рис. 2. Эволюция химического состава борогидридного топлива в процессе разряда: концентрация KOH (a), концентрация KBH_4 (b), концентрация KBO_2 (c), концентрация воды (d). Точки соответствуют аналитической концентрации компонентов в жидким растворе по сравнению с рассчитанными кривыми (сплошные линии), соответствующими общей концентрации компонентов при 8с разряде при 25°C

KOH в топливном растворе также очень близка к расчётной и медленно уменьшается при разряде из-за увеличения общей массы топлива (рис. 2, а). Хорошее совпадение модельного расчёта с результатами химического анализа надежно подтверждает 8ē схему разряда.

Концентрация растворённого борогидрида h сравнительно невелика и медленно уменьшается при разряде. Медленное изменение концентрации BH_4^- при разряде является положительным фактором, стабилизирующим работу DBFC. Момент достижения концентрацией растворённого борогидрида теоретической кривой соответствует переходу топлива в гомогенное состояние; соответственно исчезает разница между аналитической концентрацией h и общей концентрацией g . После этой точки темп снижения концентрации борогидрида резко увеличивается, так как теперь нет буферирующего воздействия твердого осадка KBH_4 . По этой же причине (из-за существования твёрдой фазы) обратная картина наблюдается для содержания воды в растворе (рис. 2, г). Вначале аналитическая концентрация воды значительно больше расчётной общей концентрации и быстро уменьшается, т.е. раствор концентрируется при разряде. После перехода топлива в гомогенное состояние темп снижения концентрации воды резко замедляется.

Для характеристики свойств топлива с позиции электрохимической кинетики важны молярные концентрации растворённых компонентов – участников анодной токообразующей реакции. В нашем случае анодная реакция соответствует схеме



Увеличение молярных концентраций электроактивных ионов способствует более легкому протеканию электроокисления BH_4^- иона (рис. 3). Исключение составляет интервал $x > 0.9$, в котором молярная концентрация метaborата многократно превышает молярность борогидрида. Низкая концентрация BH_4^- иона приводит к торможению реакций (9), (10). Дополнительным ингибирующим фактором является увеличение вязкости раствора с ростом x (соответствующий график представлен на рис. 4). Как результат, по мере истощения борогидридно-щелочного топлива происходит снижение мощности ТЭ, а полное использование борогидрида (достижение $x = 1$) становится невозможным в DBFC.

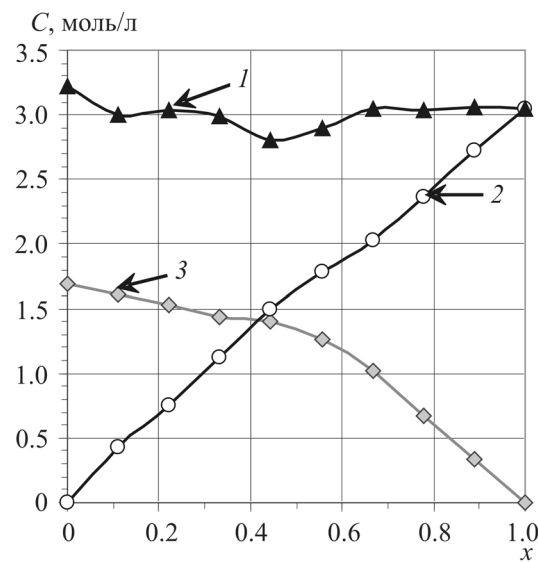


Рис.3. Изменение молярной концентрации растворённых компонентов в борогидридном топливе при 8ē разряде при 25°C: 1 – KBH_4 ; 2 – KBO_2 ; 3 – KOH

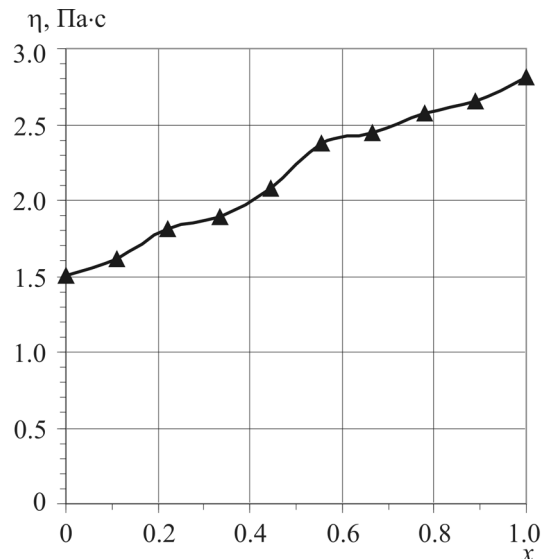


Рис.4. Эволюция вязкости борогидридного топливного раствора при 8ē разряде при 25°C

ВЫВОДЫ

В настоящей работе представлена модель, связывающая объёмно-массовые и химические изменения гетерогенного борогидридного топлива, происходящие при разряде прямого борогидридного топливного элемента. Проведено сопоставление теоретически рассчитанных и экспериментальных данных, полученных при использовании топливной композиции на основе водно-щелочного раствора борогидрида калия KBH_4 при температуре

25°C. Доля твердого КВН₄ постепенно уменьшается в процессе разряда, в определенный момент разряда DBFC твёрдая фаза исчезает полностью, при этом топливо становится гомогенным раствором. Аналитическая концентрация метабората калия КВО₂, который на всех степенях разряда находится в растворенном состоянии, близка к расчётной концентрации. Аналитическая концентрация гидроксида калия KOH в топливном растворе также близка к расчётной и медленно уменьшается при разряде из-за увеличения общей массы топлива. Хорошее совпадение модельного расчёта с результатами химического анализа надежно подтверждает 8-й механизм окисления борогидрида.

Работа выполнена при финансовой поддержке Министерства образования и науки РФ (ФЦП «Научные и научно-педагогические кадры инновационной России на 2009–2013 годы», государственный контракт № П1477).

СПИСОК ЛИТЕРАТУРЫ

1. Li Z. P., Liu B. H., Arai K., Suda S. // J. Alloys and Comp. 2005. Vol. 404–406. P. 648–652.
2. Wang K., Lu J., Zhuang L. // J. Phys. Chem. C. 2007. Vol. 111. P. 7456–7462.
3. Li Z. P., Liu B. H., Arai K., Asaba K., Suda S. // J. Power Sources. 2004. Vol. 126. P. 28–33.
4. Hong J., Fang B., Wang Ch., Currie K. // J. Power Sources. 2006. Vol. 161. P. 753–760.
5. Lakeman J. B., Rose A., Pointon K. D., Browning D. J., Lovell K. V., Waring S. C., Horsfall J. A. // J. Power Sources. 2006. Vol. 162. P. 765–772.
6. Чуриков А. В., Запись К. В., Сычева В. О., Иванищев А. В., Храмков В. В., Чуриков М. А. // Заводская лаборатория. 2011. Т. 77, № 3. С. 3–10.
7. Churikov A. V., Zapsis K. V., Khramkov V. V., Churikov M. A., Smotrov M. P., Kazarinov I. A. // J. Chem. and Eng. Data. 2011. Vol. 56, № 10. P. 9–13.
8. Churikov A. V., Zapsis K. V., Khramkov V. V., Churikov M. A., Gamayunova I. M. // J. Chem. and Eng. Data. 2011. Vol. 56, № 3. P. 383–389.
9. Churikov A. V., Zapsis K. V., Ivanishchev A. V., Sychova V. O. // J. Chem. and Eng. Data. 2011. Vol. 56, № 5. P. 2543–2552.